

2.典型 II 型系统

- 典型 II 型系统的开环传递函数表示为

$$W(s) = \frac{K(\tau s + 1)}{s^2(Ts + 1)} \quad (4-22)$$

- 惯性环节往往是系统中必定有的，时间常数 T 是控制对象固有的，分子上的比例微分环节用以保证系统稳定，因而待定的参数有两个： K 和 τ 。

定义中频宽：

$$h = \frac{\tau}{T} = \frac{\omega_2}{\omega_1} \quad (4-23)$$

- 中频宽表示了斜率为20dB/sec的中频的宽度，是一个与性能指标紧密相关的参数。

2.典型 II 型系统

- 典型 II 型系统的开环传递函数表示为

$$W(s) = \frac{K(\tau s + 1)}{s^2(Ts + 1)} \quad (4-22)$$

- 惯性环节往往是系统中必定有的，时间常数 T 是控制对象固有的，分子上的比例微分环节用以保证系统稳定，因而待定的参数有两个： K 和 τ 。

定义中频宽：

$$h = \frac{\tau}{T} = \frac{\omega_2}{\omega_1} \quad (4-23)$$

- 中频宽表示了斜率为20dB/sec的中频的宽度，是一个与性能指标紧密相关的参数。

2. 典型 II 型系统

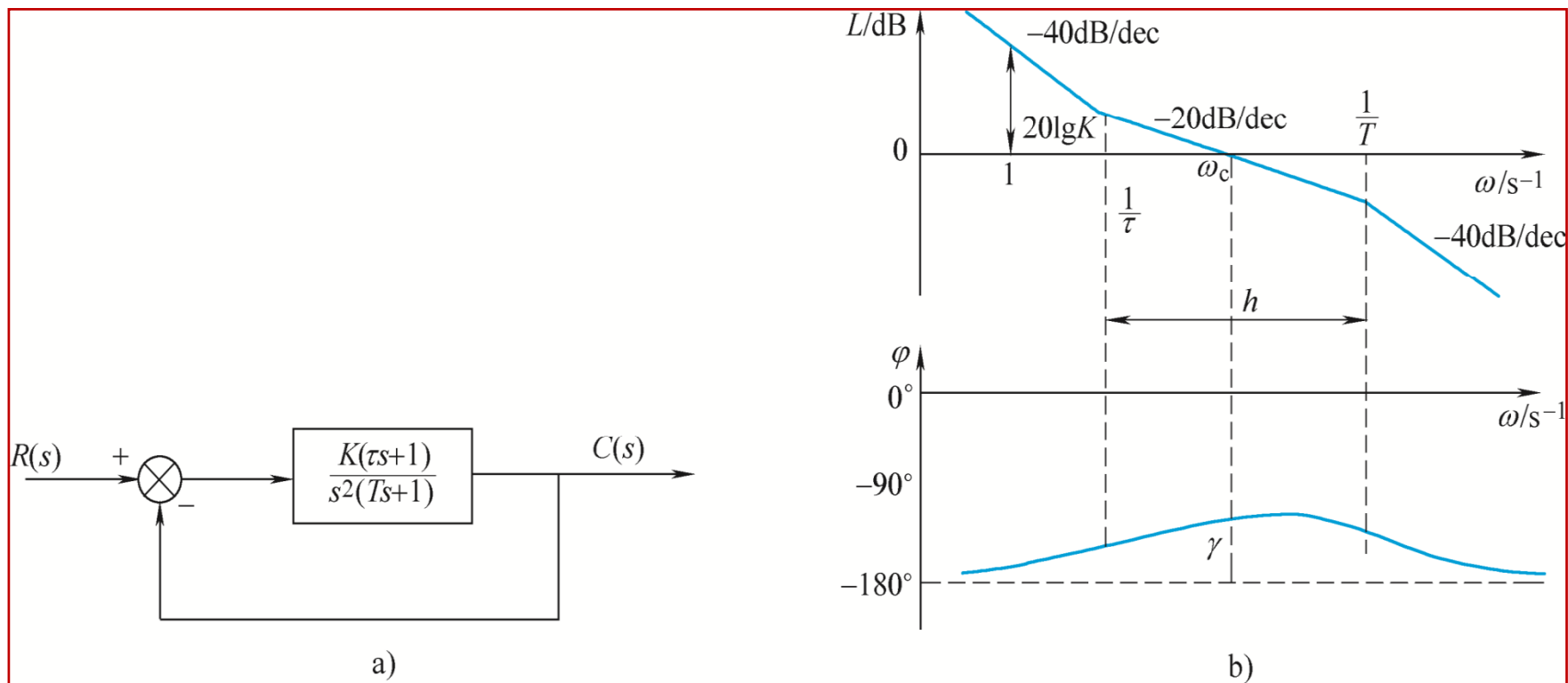


图4-15 典型 II 型系统

(a) 闭环系统结构图

(b) 开环对数频率特性

2. 典型 II 型系统

■

$$K = \omega_1 \omega_c \quad (4-25)$$

- 改变 K 相当于使开环对数幅频特性上下平移，此特性与闭环系统的快速性有关。
- 系统相角稳定裕度为

$$\gamma = \arctan \omega_c \tau - \arctan \omega_c T$$

- τ 比 T 大得越多，系统的稳定裕度就越大。
-

- 采用“振荡指标法”中的闭环幅频特性峰值最小准则，可以找到两个参数之间的一种最佳配合。

$$\omega_c = \frac{\omega_1 + \omega_2}{2} \qquad M_{r\min} = \frac{h+1}{h-1}$$

- h 值可在3-10之间选择。
- 在确定了 h 之后，可求得

$$\tau = hT \qquad (4-31)$$

$$K = \omega_1 \omega_c = \omega_1^2 \cdot \frac{h+1}{2} = \left(\frac{1}{hT}\right)^2 \frac{h+1}{2} = \frac{h+1}{2h^2 T^2} \qquad (4-32)$$

调节器的设计转变为根据性能指标选择中频带宽 h

(1) 动态跟随性能指标(分析跟随性能与h关系)

- 按 M_r 最小准则选择调节器参数，典型 II 型系统的开环传递函数为

$$W(s) = \frac{K(\tau s + 1)}{s^2(Ts + 1)} = \left(\frac{h+1}{2h^2T^2}\right) \frac{hTs + 1}{s^2(Ts + 1)}$$

- 系统的闭环传递函数

$$W_{cl}(s) = \frac{W(s)}{1+W(s)} = \frac{\frac{h+1}{2h^2T^2}(hTs + 1)}{s^2(Ts + 1) + \frac{h+1}{2h^2T^2}(hTs + 1)} = \frac{hTs + 1}{\frac{2h^2}{h+1}T^3s^3 + \frac{2h^2}{h+1}T^2s^2 + hTs + 1}$$

- 当 $R(t)$ 为单位阶跃函数时， $R(s) = \frac{1}{s}$ ，则

$$C(s) = \frac{hTs + 1}{s\left[\frac{2h^2}{h+1}T^3s^3 + \frac{2h^2}{h+1}T^2s^2 + hTs + 1\right]}$$

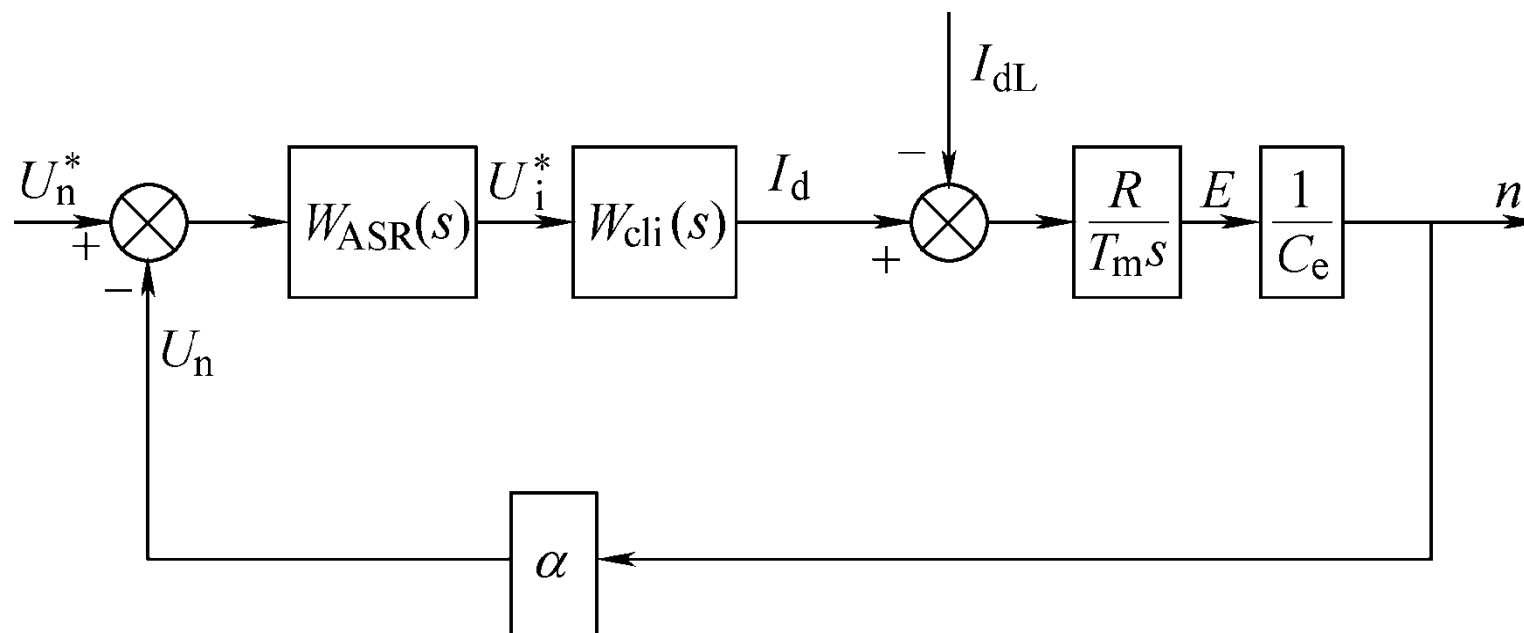
表4-4 典型 II 型系统阶跃输入跟随性能指标

(按 M_{rmin} 准则确定参数关系)

h	3	4	5	6	7	8	9	10
σ	52.6%	43.6%	37.6%	33.2%	29.8%	27.2%	25.0%	23.3%
t_r / T	2.4	2.65	2.85	3.0	3.1	3.2	3.3	3.35
t_s / T	12.15	11.65	9.55	10.45	11.30	12.25	13.25	14.20
k	3	2	2	1	1	1	1	1

以 $h=5$ 的动态跟随性能比较适中。

(2) 动态抗扰性能指标



$W_{cli}(s)$ 是电流环的闭环传递函数

图4-16 转速环在负载扰动作用下的动态结构框图

(2) 动态抗扰性能指标

- 在扰动作用点前后各有一个积分环节，用 K_d 作为一个扰动作用点之前的控制对象，

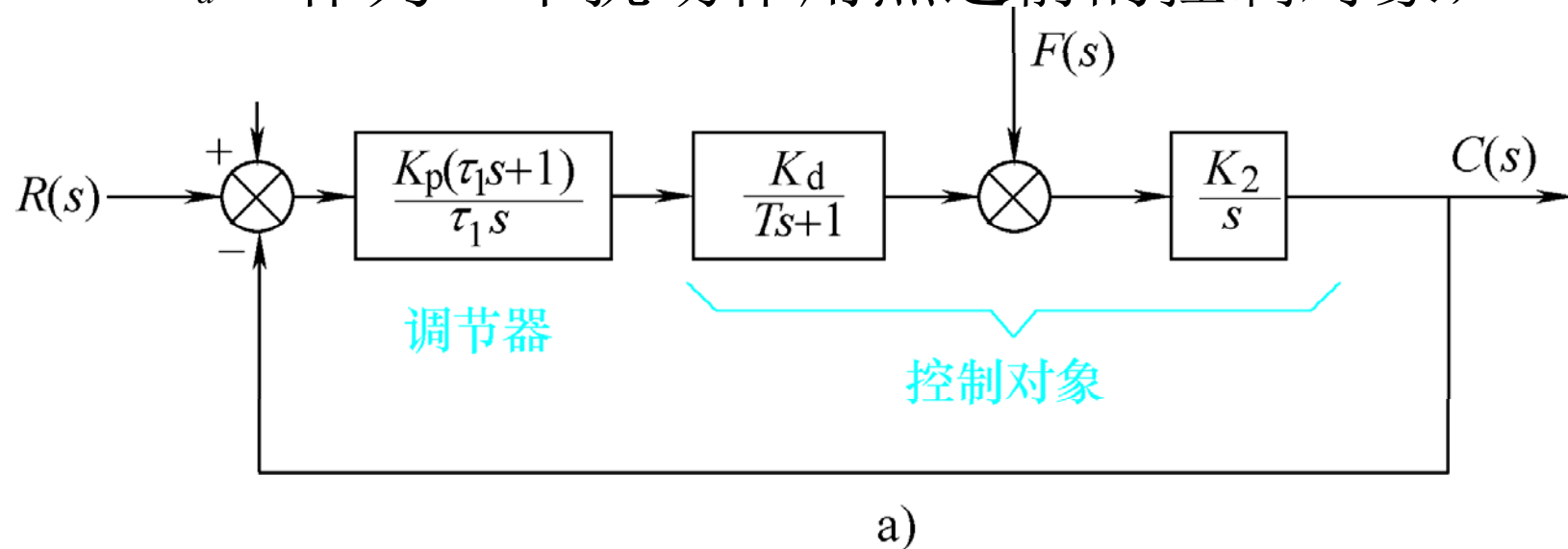


图4-17 典型 II 型系统在一种扰动作用下的动态结构图
(a) 一种扰动作用下的结构

(2) 动态抗扰性能指标

■ 取 $K_1 = K_{pi} K_d / \tau_1, K_1 K_2 = K, \tau_1 = hT$,

■ 于是 $W_1(s) = \frac{K_1(hTs + 1)}{s(Ts + 1)}$ $W_2(s) = \frac{K_2}{s}$

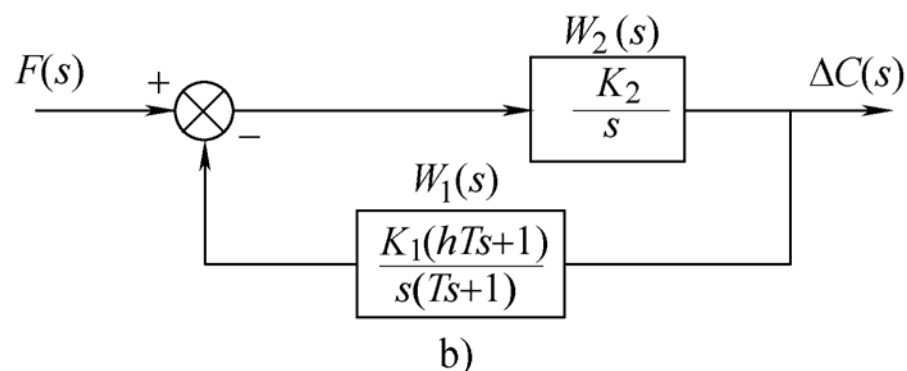


图4-17 典型 II 型系统在一种扰动作用下的动态结构图

(2) 动态抗扰性能指标

- 在阶跃扰动下, $F(s) = F / s$, 按 M_{rmin} 准则确定参数关系

$$\Delta C(s) = \frac{\frac{2h^2}{h+1} FK_2 T^2 (Ts + 1)}{\frac{2h^2}{h+1} T^3 s^3 + \frac{2h^2}{h+1} T^2 s^2 + hTs + 1} \quad (4-36)$$

- 为了使动态降落只与 **h** 有关, 且最大动态降落指标落在100%以内, 取2T时间内开环输出累加值作为基准值。

$$C_b = 2FK_2 T \quad (4-37)$$

表4-5 典型 II 型系统动态抗扰性能指标与参数的关系

(控制结构和扰动作用点如图4-17所示, 参数关系符合 $M_{r\min}$ 准则)

h	3	4	5	6	7	8	9	10
C_{\max}/C_b	72.2%	77.5%	81.2%	84.0%	86.3%	88.1%	89.6%	90.8%
t_m/T	2.45	2.70	2.85	3.00	3.15	3.25	3.30	3.40
t_v/T	13.60	10.45	8.80	12.95	16.85	19.80	22.80	25.85

- 由表4-5中的数据可见， h 值越小， $\Delta C_{\max} / C_b$ 也越小， t_m 都短，因而抗扰性能越好。
- 但是，当 $h < 5$ 时，由于振荡次数的增加， h 再小，恢复时间 t_v 反而拖长了。
- $h = 5$ 是较好的选择，这与跟随性能中调节时间 t_s 最短的条件是一致的（见表4-4）。

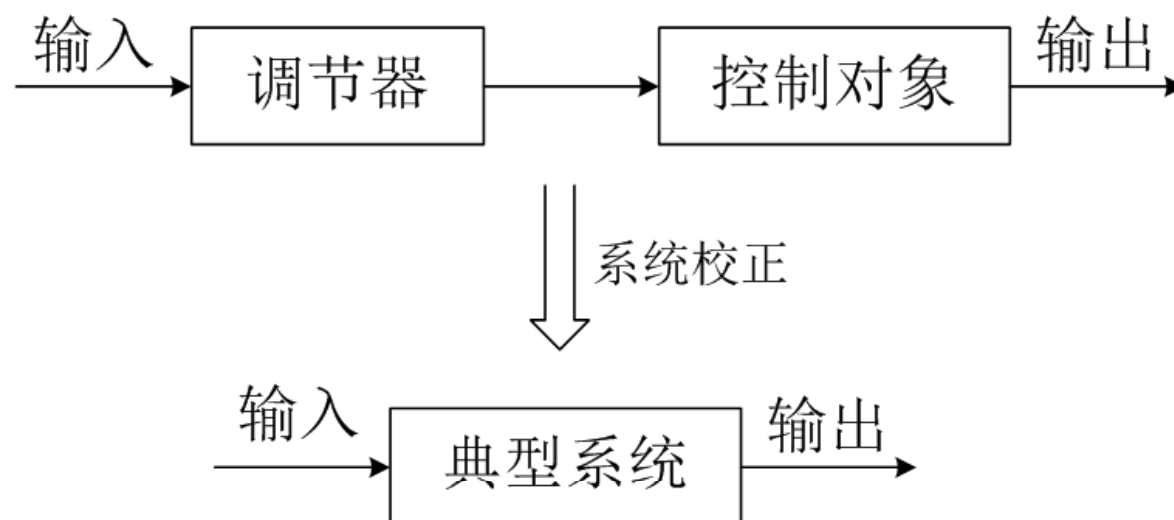
-
- 典型I型系统和典型II型系统在稳态误差上有区别。
 - 典型I型系统在跟随性能上可以做到超调小，但抗扰性能稍差。
 - 典型II型系统的超调量相对较大，抗扰性能却比较好。
 - 这些是设计时选择典型系统的重要依据。
-

3.控制对象的工程近似处理方法

■ 调节器的选择

➤ 基本思路

将控制对象校正成典型系统。



➤ 选择控制规律：P, I, PI, PD, PID

表1 校正成典型I型系统的几种调节器的选择

控制对象	$\frac{K_2}{(T_1s+1)(T_2s+1)}$ $T_1 > T_2$	$\frac{K_2}{Ts+1}$	$\frac{K_2}{s(Ts+1)}$	$\frac{K_2}{(T_1s+1)(T_2s+1)(T_3s+1)}$ $T_1, T_2 > T_3$	$\frac{K_2}{(T_1s+1)(T_2s+1)(T_3s+1)}$ $T_1 \gg T_2, T_3$
调节器	$\frac{K_{pi}(\tau_1s+1)}{\tau_1s}$	$\frac{K_i}{s}$	K_p	$\frac{(\tau_1s+1)(\tau_2s+1)}{\tau s}$	$\frac{K_{pi}(\tau_1s+1)}{\tau_1s}$
参数配合	$\tau_1 = T_1$			$\tau_1 = T_1, \tau_2 = T_2$	$\tau_1 = T_1$ $T_\Sigma = T_2 + T_3$
K	$\frac{K_{pi}K_2}{\tau_1}$	K_iK_2	K_pK_2	$\frac{K_2}{\tau}$	$\frac{K_{pi}K_2}{\tau_1}$

表2 校正成典型II型系统的几种调节器的选择

控制对象	$\frac{K_2}{s(Ts+1)}$	$\frac{K_2}{(T_1s+1)(T_2s+1)}$ $T_1 \gg T_2$	$\frac{K_2}{s(T_1s+1)(T_2s+1)}$ T_1, T_2 相近	$\frac{K_2}{s(T_1s+1)(T_2s+1)}$ T_1, T_2 都很小	$\frac{K_2}{(T_1s+1)(T_2s+1)(T_3s+1)}$ $T_1 \gg T_2, T_3$
调节器	$\frac{K_{pi}(\tau_1s+1)}{\tau_1s}$	$\frac{K_{pi}(\tau_1s+1)}{\tau_1s}$	$\frac{(\tau_1s+1)(\tau_2s+1)}{\tau s}$	$\frac{K_{pi}(\tau_1s+1)}{\tau_1s}$	$\frac{K_{pi}(\tau_1s+1)}{\tau_1s}$
参数配合	$\tau_1 = hT$	$\tau_1 = hT_2$ 认为: $\frac{1}{T_1s+1} \approx \frac{1}{T_1s}$	$\tau_1 = hT_1$ (或 hT_2) $\tau_2 = T_2$ (或 hT_1)	$\tau_1 = h(T_1 + T_2)$	$\tau_1 = h(T_2 + T_3)$ 认为: $\frac{1}{T_1s+1} \approx \frac{1}{T_1s}$
K	$\frac{K_{pi}K_2}{\tau_1}$	$\frac{K_{pi}K_2}{T_1\tau_1}$	$\frac{K_2}{\tau}$	$\frac{K_{pi}K_2}{\tau_1}$	$\frac{K_{pi}K_2}{T_1\tau_1}$

■ 例:

$$\frac{K_{pi}(\tau_1 s + 1)}{\tau_1 s} \cdot \frac{K_2}{(T_1 s + 1)(T_2 s + 1)} \Rightarrow \frac{K}{s(Ts + 1)}$$
$$T_1 > T_2$$

令 $\tau_1 = T_1$

$$\frac{K_{pi}(\tau_1 s + 1)}{\tau_1 s} \cdot \frac{K_2}{(T_1 s + 1)(T_2 s + 1)} = \frac{K_{pi} K_2}{\tau_1 s (T_2 s + 1)}$$

确定参数: $\tau_1 = T_1$ $K = \frac{K_{pi} K_2}{\tau_1}$

3.控制对象的工程近似处理方法

(1) 高频段小惯性环节的近似处理

- 当高频段有多个小时间常数 T_1 、 T_2 、 $T_3 \dots$ 的小惯性环节时，可以等效地用一个时间常数 T 的惯性环节来代替。其等效时间常数为 $T=T_1+T_2+T_3+\dots$
- 一个有2个高频段小惯性环节的开环传递函数

$$W(s) = \frac{K}{s(T_1s + 1)(T_2s + 1)}$$

- 其中 T_1 、 T_2 为小时间常数。它的频率特性为

$$W(j\omega) = \frac{1}{(j\omega T_1 + 1)(j\omega T_2 + 1)} = \frac{1}{(1 - T_1 T_2 \omega^2) + j\omega(T_1 + T_2)} \quad (4-39)$$

- 近似处理后的近似传递函数 $W'(s) = \frac{K}{s(Ts + 1)}$ ，其中 $T=T_1+T_2$ ，它的频率特性为

$$W'(j\omega) = \frac{1}{1 + j\omega T} = \frac{1}{1 + j\omega(T_1 + T_2)} \quad (4-41)$$

(1) 高频段小惯性环节的近似处理

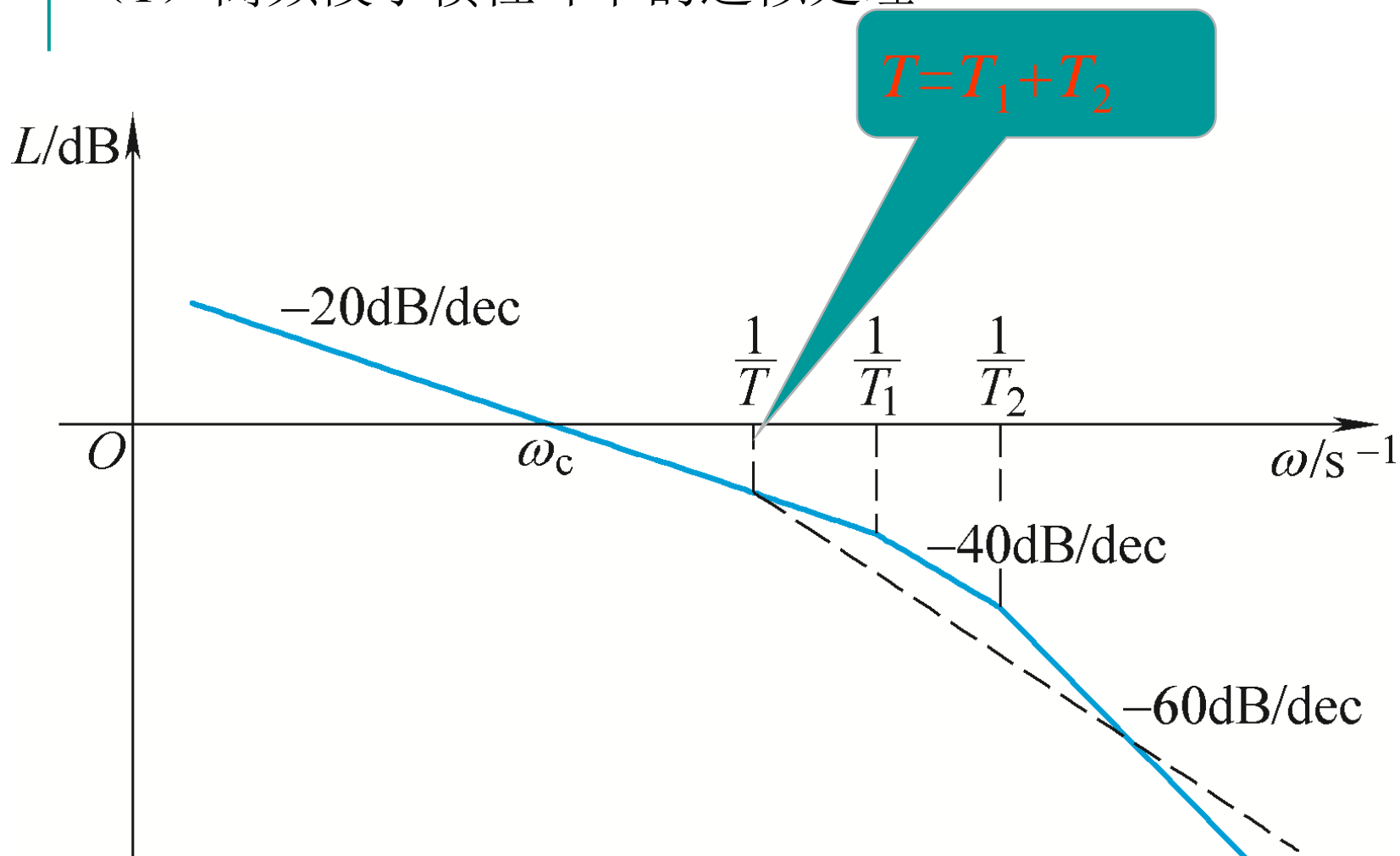


图4-18 高频段小惯性群近似处理对频率特性的影响

- 近似相等的条件是。
- 在工程计算中，一般允许有**10%**以内的误差，近似条件可写成

$$T_1 T_2 \omega^2 \ll 1 \quad \omega_c \leq \frac{1}{3\sqrt{T_1 T_2}}$$

有三个小惯性环节，其近似处理的表达式是

$$\frac{1}{(T_1 s + 1)(T_2 s + 1)(T_3 s + 1)} \approx \frac{1}{(T_1 + T_2 + T_3)s + 1}$$

- 近似的条件为

$$\omega_c \leq \frac{1}{3} \sqrt{\frac{1}{T_1 T_2 + T_2 T_3 + T_3 T_1}}$$

■ 推广

一般地, 若系统包含若干个小时间常数 T_1, T_2, \dots, T_n 的小惯性群, 则只要各小惯性环节的转角频率 $\omega_1, \omega_2, \dots, \omega_n$, 在工程上只要

$$\omega_c \leq \frac{1}{3} \sqrt{\frac{1}{T_1 T_2 + T_1 T_3 + \dots + T_{n-1} T_n}} = \frac{1}{3} \sqrt{\frac{1}{\sum_{i=1}^{n-1} T_i \sum_{j=i+1}^n T_j}}$$

就可以将它们近似等效成一个小惯性环节, 其时间常数等于原系统小时间常数之和, 即 $T = T_1 + T_2 + \dots + T_n$ 。

(2) 高阶系统的降阶近似处理

■ 三阶系统

$$W(s) = \frac{K}{as^3 + bs^2 + cs + 1} \quad (4-45)$$

a, b, c 都是正数, 且 $bc > a$, 即系统是稳定的。

■ 降阶处理: 忽略高次项, 得近似的一阶系统

$$W(s) \approx \frac{K}{cs + 1} \quad (4-46)$$

■ 近似条件

$$\omega_c \leq \frac{1}{3} \min\left(\sqrt{\frac{1}{b}}, \sqrt{\frac{c}{a}}\right) \quad (4-47)$$

(3) 低频段大惯性环节的近似处理

- 当系统中存在一个时间常数特别大的惯性环节时，可以近似地将它看成是积分环节。

$$\frac{1}{Ts + 1} \longrightarrow \frac{1}{Ts}$$

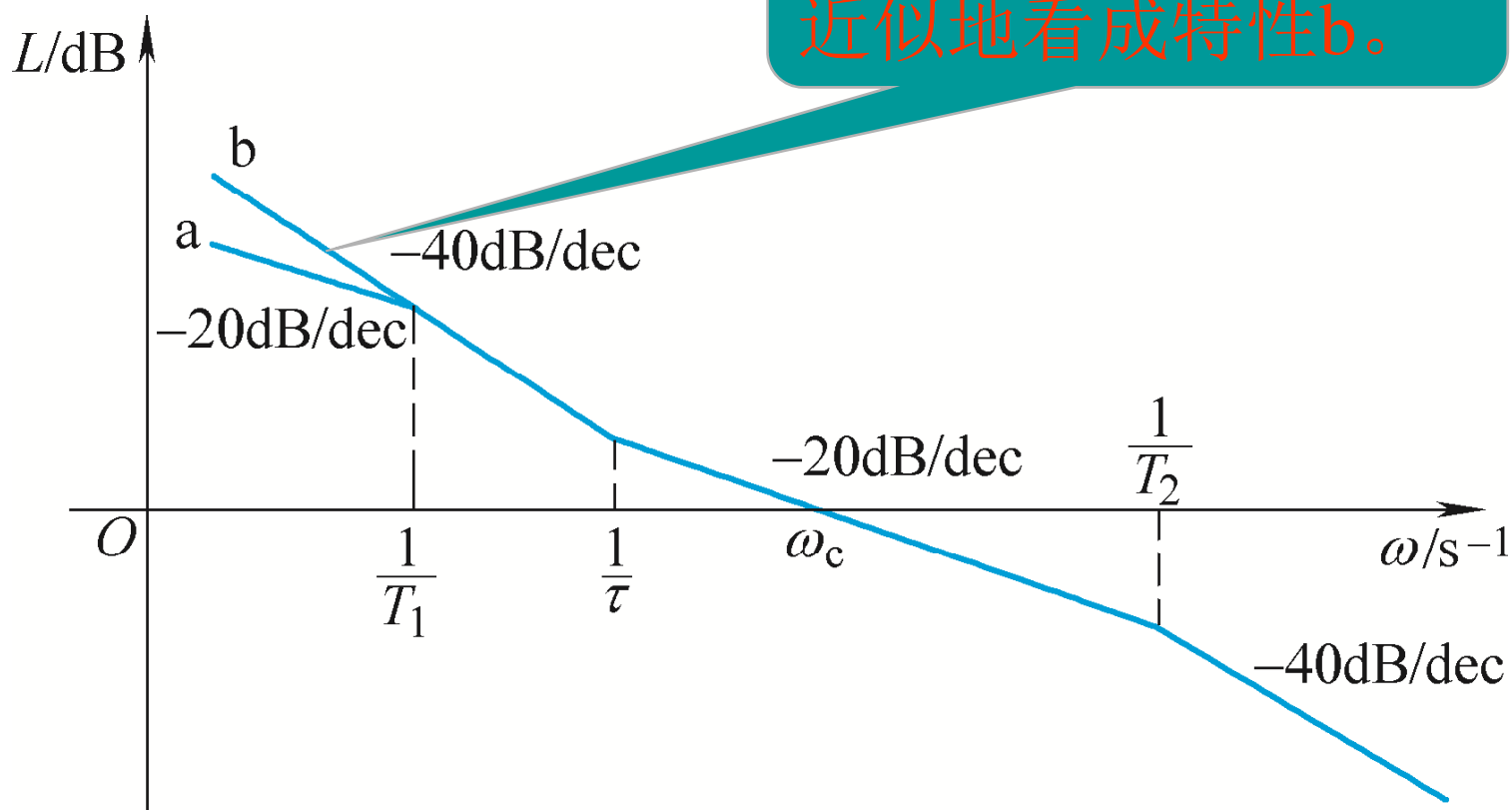
- 大惯性环节的频率特性为 $\frac{1}{j\omega T + 1} = \frac{1}{\sqrt{\omega^2 T^2 + 1}} \angle -\arctg \omega T$

- 近似成积分环节，其幅值应近似为 $\frac{1}{\sqrt{\omega^2 T^2 + 1}} \approx \frac{1}{\omega T}$

- 近似条件是：

$$\omega_c \geq \frac{3}{T} \quad (4-48)$$

图4-19 低频段大惯性环节近似处理对频率特性的影响



这种近似处理只适用于分析动态性能